前驱体 Lix MoS2 的制备及其光谱分析

冯世宏1, 贾太轩2,3, 刘自力2,3*

- 1. 辽宁工业大学材料与化学工程学院, 辽宁 锦州 121004
- 2 广西大学化学化工学院, 广西 南宁 530004
- 3 广州大学化学化工学院, 广东 广州 510006

摘 要 在超声波作用下,采用单分子层剥离 重堆技术,利用正丁基锂对 MoS_2 夹层进行剥离,合成了前驱体 $Li_x MoS_2$ 。通过原子吸收光谱得到 x=0 93~ 0 96; XRD、FTIR、UV Vis 的检测揭示了 $Li_x MoS_2$ 的 微观结构和内在规律性,证实了 $Li_x MoS_2$ 为亚稳态的八面体构型。研究结果为进一步合成高活性、高选择性的柱撑 MoS_2 加氢催化剂提供了实验依据,同时为加氢催化剂的研究及生产高附加值的二硫化钼奠定了基础。

关键词 Li_x MoS₂; 八面体构型; 二硫化钼; 加氢催化剂

中图分类号: 0.657.3 文献标识码: A DOI: 10 3964/j issn 1000 0593(2009) 03-0756 03

引言

二硫化钼(MoS_2) 有三种构型 $^{[1:3]}$: $1T-MoS_2$, $2H-MoS_2$, $3R MoS_2$, 其中 $1T-MoS_2$ 和 $3R MoS_2$ 为亚稳态结构, $2H-MoS_2$ 为最稳定结构 $^{[1]}$ 。将锂嵌入到 MoS_2 夹层中,是一个氧化还原过程,即离子 电子转移反应, MoS_2 提供主体位置及还原中心,电子从锂转移到 MoS_2 最低未被占据能级上,形成 $Li_x MoS_2$ 夹层物 $^{[4]}$ 。当锂插入后, MoS_2 发生了 $2H-MoS_2$ 转变为 $1T-MoS_2$ 的结构相变,锂占据 MoS_2 层间的八面体位,得到 $Li_x MoS_2$ 。 $Li_x MoS_2$ 作为一种重要的合成柱撑 MoS_2 复合材料的重要前驱体 $^{[3]}$,伴随人们寻求新型的柱撑 MoS_2 的加氢精制 $^{[6]}$ 、深度加氢脱硫 $^{[7]}$ 、深度加氢脱氮 $^{[8]}$ 催化剂的不断深入, $Li_x MoS_2$ 的研究显得更加重要。正丁基锂对 MoS_2 进行剥离,合成 $Li_x MoS_2$,其和水反应,生成 MoS_2 的单分子层,再引入无机离子团,进行重堆垛,将无机离子插入 MoS_2 的夹层之间,从分子水平上,组装为无机柱撑 MoS_2 加氢催化剂 $^{[9]}$ 。

1 实验部分

1.1 仪器和试剂

日本 Rigaku D/Max 2500V 型 XRD 仪; 美国 PE 1100B 型原子吸收光谱仪; 德国 Bruker tensor 207 红外光谱仪; 北京普析 TU-1901型双光束紫外 可见分光光度计; 昆山 KQ

600 型变频数控超声波反应器;上海精宏 DZF 6051 型真空干燥箱。

正丁基锂; 二硫化钼均为化学纯; 正己烷为分析纯。

1 2 Li_x MoS₂ 的制备

将一定量的 MoS_2 放入三颈瓶中,氮气为保护气,通氮气(50 mL^{\bullet} min^{-1}) 10 min 后,注入 50 mL 2 5 mol^{\bullet} L^{-1} 正 丁基锂的正己烷溶液,密封,超声波震荡 60 min,静置 5 d后,移去上清液,用正己烷洗涤数次后,真空干燥,得到黑色粉体 Li_*MoS_2 。

用美国 PE 1100B 型原子吸收光谱仪检测粉体 $\text{Li}_x \text{MoS}_2$ 中 Li 原子含量、结果表明 x=0 93~ 0 96。

2 结果与讨论

2 1 Li_x MoS₂ 的 XRD 光谱分析

根据 PDF * 06 0097, 结合 XR D 谱图(图1) 可以发现, 三 棱柱构型的原料 2H- MoS_2 在 14 \mathcal{L} , 33. \mathcal{L} , 39 \mathcal{L} , 49 \mathcal{L} , 58 \mathcal{L} 存在特征 衍射峰,对应晶面分别为(002), (100), (103), (105), (110), 和本实验 XRD 检测结果一致。八面体构型的 $Li_x MoS_2$ 的特征衍射峰有 7 \mathcal{L} 和 21 \mathcal{L} ,对应晶面分别为(001) 和(003); $Li_x MoS_2$ 真空放置 20 d 后,特征衍射峰变为 8 \mathcal{L} ,14 \mathcal{L} ,16 \mathcal{L} ,对应晶面分别为(001),(002), (003),出现了(002)晶面,即有少部分三棱柱构型的 2H- MoS_2 生成。因此,2H- MoS_2 与正丁基锂反应,锂的嵌入不仅改变了 MoS_2 层能带中电子填充情况,同时也使 Mo 的配

位构型由原料 $2H-MoS_2$ 的三棱柱构型转变为 MoS_6 八面体构型。 MoS_6 八面体构型的 MoS_2 是一种亚稳态,经过一段时间老化,它逐渐转变为热力学稳定的三棱柱配位构型,此处得到了很好的证明,和文献[10]结论一致。

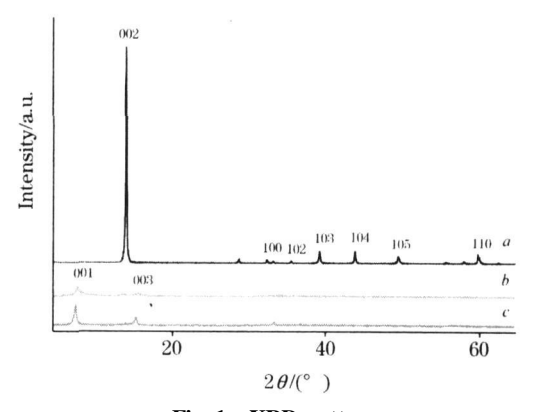


Fig 1 XRD patterns

a: MoS2; b: Lix MoS2 in vaccum after 20 d; c: Lix MoS2

 $2H-MoS_2$ 的晶格参数为 a=b=0 316 nm, c=1 230 nm。根据 Li_xMoS_2 的 PD F^* 21-1096,结合 X RD 谱图,其晶格参数为 a=0 559 3 nm,b= 559 3 nm,c=2 261 0 nm。对比发现, Li_xMoS_2 的晶格参数相对于 2H-MoS₂,有所增加,特别是 c 轴方向上,数值增加较多,值得重点关注、还应做进一步的研究。

2.2 Lix MoS2 的 FTIR 光谱分析

 $Li_x MoS_2$ 的特征吸收峰 $^{[11,12]}$ 有 465, 633, 681, 840, 1 431, 1 503 cm $^{-1}$ (图 2)。633, 681, 1 431, 1 503 cm $^{-1}$ 分别是 S=Mo 双键的 V_a 。和 V_s 伸缩振动引起的吸收峰 $(V_a$ 。和 V_s 分别分裂为双峰),它们很好地证实了 $Li_x MoS_2$ 为八面体构型, 三棱柱构型 $2H-MoS_2$ 没有这些峰; 465 和 840 cm $^{-1}$ 分别是

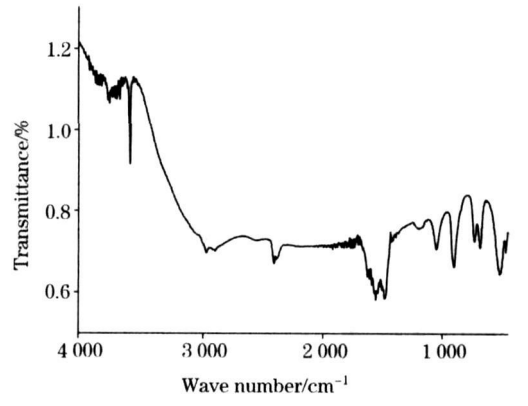


Fig 2 Typical FTIR spectra of Li_xMoS₂

Li-S 单键弯曲振动、伸缩振动引起的吸收峰; 3 563 和 1 001 cm⁻¹是 Li_x MoS₂ 表面少量吸附水引起的伸缩振动和弯曲振动引起的吸收峰^[13]。

2 3 Li_x MoS₂ 水解液的 UV Vis 光谱分析

用蒸馏水做参比,对紫外可见分光光度计进行基线校正。把一定量的 $\text{Li}_x \, \text{MoS}_2$ 和 MoS_2 ,分别放入柱塞锥形瓶中,加入适量的蒸馏水,超声震荡 $1 \, \text{h}$ 后,对其悬浮液体进行对紫外可见分光光谱检测,结果表明, MoS_2 没有吸收峰,基本上是一条直线; $\text{Li}_x \, \text{MoS}_2$ 在 200. 54 nm 处存在明显吸收,该峰是单分子层 MoS_2 的特征吸收峰。 $\text{Li}_x \, \text{MoS}_2$ 遇水发生反应,锂将电子传递给 MoS_2 板层, MoS_2 板层带上负电荷,具备了较强的还原性,可与水反应生成 H_2 ,在超声波震荡下, MoS_2 层间氢气的生成及 MoS_2 板层间的静电排斥作用,导致 MoS_2 层间距迅速增大,并剥离成带负电荷的单分子层,可以和带正电荷的羟基金属簇离子反应,制备新型催化剂——柱撑复合材料[14],应用于现代工业,这将是本研究的下一步工作重点。

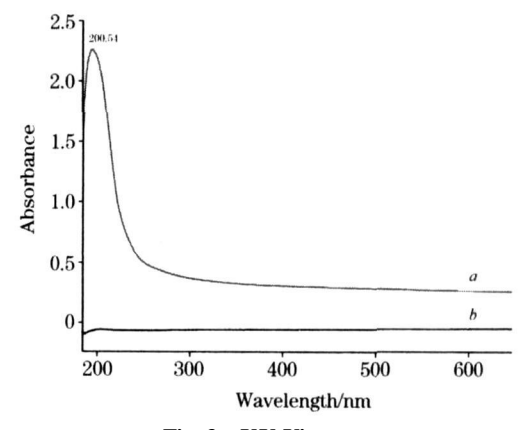


Fig 3 UV Vis spectra

a: Liquid of single layer in suspension by $\operatorname{Li}_x \operatorname{M} \operatorname{oS}_2$ reacted with water; b: $\operatorname{M} \operatorname{oS}_2$

3 结论

- (1) 合成了柱撑 MoS_2 复合材料的重要前驱体 $Li_x MoS_2$ 。
- (2) 通过原子吸收光谱得到 $x=0.93\sim0.96$; XRD 和 FTIR 检测证实了 $\text{Li}_x \, \text{MoS}_2$ 为八面体构型; UV- V is 光谱检测从不同侧面证实了产物 $\text{Li}_x \, \text{MoS}_2$ 。
- (3) 揭示 Li_xMoS_2 的微观结构和内在规律,为进一步合成高性能的柱撑 MoS_2 加氢催化剂提供了实验依据,为充分利用我国钼矿资源优势,开拓其深加工及应用领域,具有重要的经济价值。

参 考 文 献

- [1] Benavente E, Santa Ana M A, Mendizabal F, et al. Coord. Chem. Rev., 2002, 224(+ 2): 87.
- [2] GUO Sheng ping, WU Weiduan(郭胜平,吴伟端). China Molybdenum Industry (中国钼业), 2004, 28(5): 41.
- [3] Julien C M. Mater. Sci. & Eng. R-Reports, 2003, 40(2): 47.
- [4] Mirabal N, Lavayen V, Benavente E. Microelectronics Journal, 2004, 35(1): 37.
- [5] SUN Ping, XIONG Bo, ZHANG Guorqing, et al(孙 萍,熊 波,张国青,等). Spectroscopy and Spectral Analysis(光谱学与光谱分析), 2007, 27(1): 143.
- [6] Danot M, Mansot J L, Golub A S, et al. Materials Research Bulletin, 1994, 29(8): 833.
- [7] Li Yongwang, Pang Xianyong, Delmon B. Journal of Molecular Catalysis A-Chemical, 2001, 169(1/2): 259.
- [8] Lauritsen J V, Nyberg M, Norskov J K. Journal of Catalysis, 2004, 224(1): 94.
- [9] Boone W P, Ekerdt J G. Journal of Catalysis, 2000, 193(1): 96.
- [10] Chrissafis K, Zamani M, Kambas K. Mater. Sci. Eng., 1989, 3(1/2): 145.
- [11] QIN Chuan xiao(秦川校). Spectrum Resolution of Organic Compound(有机化合物的波谱解析). Shanghai: East China University of Technology Press(上海: 华东理工大学出版社), 2007.
- [12] Maugé F, Lamotte J, Nesterenko N S. Applied Catalysis A: General, 2004, 268: 189.
- [13] Golub A S, Shumilova I B, Zubavichus Y V. Solid State Ionics, 1999, 122(1/4): 137.
- [14] Rabin Bissessur, Peter K Y Liu. Solid State Ionics, 2006, 177: 191.

Preparation of Premonitory Lix MoS2 and Its Spectral Analysis

FENG Shi hong¹, JIA Tai xuan^{2, 3}, LIU Zi li^{2, 3*}

- 1. College of Material & Chemical Engineering, Liaoning University of Technology, Jinzhou 121004, China
- 2. College of Chemistry & Chemical Engineering, Guangxi University, Nanning 530004, China
- 3. College of Chemistry & Chemical Engineering, Guangzhou University, Guangzhou 510006, China

Abstract Under the effect of ultrasonic waves, premonitory $Li_x MoS_2$ was prepared by π butyl lithium intercalating in the MoS_2 layers, using the single molecular layer exfoliated restacked technology. The value of x was in the range from 0 93 to 0 96 determined by atomic absorption spectrometry. Micro structure and essential regularity of $Li_x MoS_2$ were disclosed, for example oc tahedral configuration of $Li_x MoS_2$ was metastable. It could provide experimental data for synthesizing new hydrogenation catarlysts for interaction of MoS_2 with high activity and selectivity. This work will lay the foundation for the research on hydrogenation catalysts and the production of high value added MoS_2 .

Keywords Lix MoS2; Octahedral configuration; Molybdenum disulfide; Hydrogenation catalysts

(Received Nov. 6, 2007; accepted Feb. 16, 2008)

Corresponding author